



**Journal of  
Space Science, Technology  
& Applications (Persian)**

Vol. 1, No. 2, pp.: 97-111  
2022

Available in:

[Journal.isrc.ac.ir/article\\_146836.html](http://Journal.isrc.ac.ir/article_146836.html)

DOI:

10.22034/jsssta.2022.323058.1044

**Article Info**

Received: 2022-1-4

Accepted: 2022-2-14

**Keywords**

Fluid layer;  
Monopropellant thruster;  
Spray cone; Injector  
internal geometry;  
Pressure-swirl injector

**How to cite this article**

**Hadiseh Karimaei,**  
**“Design and Analysis of Pressure- Swirl Fuel Injector with Full- Cone Spray for Catalytic Thruster”,** *Journal of Space Science, Technology and Applications*, vol 1 (2), p.: 97-111, 2022.

Original Article

## Design and Analysis of Pressure- Swirl Fuel Injector with Full- Cone Spray for Catalytic Thruster

**Hadiseh Karimaei \*<sup>1</sup>**

1,\*. Ari, karimaei@ari.ac.ir, Corresponding author

### Abstract

The monopropellant thrusters of the situation control system are a requirement for the development and application of satellites and space capsules in space, which are high-tech and expensive. In this paper, the design and simulation of a pressure- swirl injector with full-cone spray as a fuel injector of a monopropellant thruster are presented. For this injector, internal flow simulation was performed in order to predict its output flow characteristics including spray cone angle, output velocity distribution, mass flow rate, spray pattern, etc. For this purpose, VOF fluid volume method is used and the flow turbulence is simulated using the k-eps model. This type of injector is actually a combination of straight flow injector and swirl flow injector. Jet straight flow in the center of the injector and swirl flow along the injector wall are flowed. Both flow regimes are combined in the swirl chamber and the spray is formed as a full-cone. If the ratio of the outlets is selected correctly, the radial and environmental distribution of the liquid jet will be uniform. This injector is preferred to the capillary type (straight flow) and the swirl type. The pressure-swirl injector spray angle is larger than the capillary type, which improves the coverage of the catalyst bed, at the same time, spray angle is not as large as the swirl injector, which enlarges the radial dimensions of the decomposition chamber. Based on the results, it was ensured that the injector provides the desired mass flow rate (about 5.8 gr/s) at a certain design pressure difference (3 bar) and determines a suitable spray pattern. It also provides the desired spray angle (about 35°).



## مقاله پژوهشی

# طراحی و تحلیل انژکتور سوخت پاش فشاری-پیچشی با اسپری توپر برای رانشگر کاتالیستی

حدیثه کریمایی<sup>\*</sup>

۱، استادیار، گروه علوم فضایی، پژوهشگاه هوافضای ایران (نویسنده مسئول) karimaei@ari.ac.ir

دو فصلنامه  
علوم، فناوری و  
کاربردهای فضایی

سال اول، شماره ۲، صفحه ۱۱۱-۹۷  
پاییز و زمستان ۱۴۰۰

دسترسی پذیر در نشانی:  
[Journal.isrc.ac.ir/article\\_146836.html](https://Journal.isrc.ac.ir/article_146836.html)

DOI:  
10.22034/jssta.2022.323058.1044

## تاریخچه داوری

دریافت: ۱۴۰۰/۱۰/۱۴

پذیرش: ۱۴۰۰/۱۱/۲۵

## واژه‌های کلیدی

لایه سیال، رانشگر تکمولفه‌ای،  
مخروط اسپری، هندسه داخلی  
انژکتور، انژکتور فشاری-پیچشی.

## نحوه استناد به این مقاله

حدیثه کریمایی، "طراحی و تحلیل  
انژکتور سوخت پاش فشاری-پیچشی  
با اسپری توپر برای رانشگر  
کاتالیستی"، دوفصلنامه علوم، فناوری و  
کاربردهای فضایی، جلد اول، شماره  
دوم، صفحات ۹۷-۱۱۱، ۱۴۰۰.

**چکیده**  
رانشگرهای تکمولفه‌ای سیستم کنترل وضعیت، یک نیاز برای توسعه و کاربردی‌سازی ماهواره‌ها و کپسول‌های فضایی هستند که از فناوری بالا و گران‌قیمتی نیز برخوردارند. در این مقاله، طراحی و محاسبات یک انژکتور فشاری-پیچشی با اسپری مخروطی توپر به عنوان انژکتور سوخت یک رانشگر تکمولفه‌ای کم‌پیشران، ارائه شده است. برای این انژکتور، شبیه‌سازی جریان داخلی به منظور پیش‌بینی مشخصه‌های جریان خروجی آن شامل زاویه مخروط پاشش، توزیع سرعت خروجی، دبی جرمی، الگوی پاشش و غیره انجام گرفته است. بدین منظور، از روش حجم سیال VOF استفاده شده و آشفتگی جریان نیز با استفاده از مدل k-ε شبیه‌سازی شده است. این نوع انژکتور، در واقع ترکیبی از انژکتور جریان مستقیم و انژکتور گریز از مرکز است. جریان مستقیم در مرکز انژکتور و جریان پیچشی در کنار دیواره انژکتور جریان دارد. اگر نسبت دهانه‌های خروجی به درستی انتخاب شود، توزیع شعاعی و محیطی جت مایع یکنواخت می‌شود. این انژکتور برای سامانه‌های کم‌پیشران نسبت به نوع کاپیلاری (جریان مستقیم) و جریان پیچشی ارجحیت دارد. زیرا هم چتر پاشش مخروطی توپر و بزرگتری نسبت به نوع جریان مستقیم دارد که پوشش‌دهی کاتالیست را بهتر می‌کند، در عین حال چتر پاششی که ایجاد می‌کند به بزرگی انژکتور جریان پیچشی نیست که ابعاد شعاعی محفظه را بزرگ کند. با بررسی نتایج، این اطمینان حاصل شد که انژکتور طراحی شده، دبی جرمی مورد نظر (حدود ۵/۸ گرم بر ثانیه) را در اختلاف فشار معین طراحی (۳ بار نسبی) تامین می‌کند و الگوی پاشش مناسبی رقم می‌زند. همچنین زاویه پاشش مورد نظر (حدود ۳۵ درجه) نیز توسط آن تامین می‌شود.

## ۱- مقدمه

گرفته و مشخصه‌های مورد نیاز میکرورانشگر توسط این صفحه انژکتور تامین می‌شود. فرانکن<sup>۵</sup> و همکاران [7] یک رانشگر ۱ نیوتونی با سوخت آب اکسیژن را بررسی کردند. آن‌ها در این طراحی به منظور پاشش آب اکسیژن به داخل محفظه کاتالیستی از انژکتور کاپیلاری استفاده کردند.

حسینعلی‌پور و همکاران [8,9]، جریان داخلی انژکتورهای مختلف را بررسی کردند و به این نتیجه رسیدند که توزیع مناسب پاشش انژکتور به هندسه داخلی آن وابسته است. کریمائی [10] یک انژکتور گریز از مرکز را با دو ورودی مماسی به عنوان انژکتور یک میکرورانشگر تک‌مولفه‌ای هیدرازینی ۱۰ نیوتونی را طراحی و شبیه‌سازی کرد. جریان داخل انژکتور به منظور پیش‌بینی مشخصه‌های جریان خروجی و اطمینان از شکل‌گیری حفره گاز درون آن شبیه‌سازی شد. وی نتیجه گرفت که دبی جرمی مورد نیاز میکرورانشگر (۵ گرم بر ثانیه) در اختلاف فشار معین طراحی توسط انژکتور تامین می‌شود و حفره هوا داخل انژکتور تا انتهای آن تشکیل می‌شود. کریمائی و همکاران [11] برای طراحی میکرورانشگر تک‌مولفه‌ای هیدرازینی ۱۰ نیوتونی از یک انژکتور جریان پیچشی با ورودی‌های مماسی و مخروط اسپری توانی با زاویه متوسط استفاده کردند. آن‌ها نتیجه گرفتند که انژکتور طراحی شده قابلیت تامین دبی جرمی مورد نیاز میکرورانشگر را دارد.

عبدالحمید<sup>۶</sup> و همکاران [12] در یک مطالعه تجربی از انژکتور فشاری-پیچشی<sup>۷</sup> برای پاشش سوخت در محفظه تجزیه یک میکرورانشگر استفاده کردند. آن‌ها پارامترهای هندسی مختلف انژکتور را در فشارهای مختلف مورد بررسی قرار داده و بهینه‌ترین حالت را معرفی نمودند. نادا<sup>۸</sup> و همکاران [13] تاثیر استفاده از لنژکتورهای مختلف را بر روی عملکرد یک میکرورانشگر هیدرازینی بررسی کردند. به همین منظور، آن‌ها دو نوع انژکتور شامل یک انژکتور جریان مستقیم و دیگری انژکتور فشاری-پیچشی را مطالعه کردند. به منظور بهینه‌سازی پارامترهای هندسی انژکتور، نمودارهای طراحی انژکتور توسط آن‌ها معرفی شد. آن‌ها بیان کردند که انژکتور فشاری-پیچشی

میکرورانشگرهای تک‌مولفه‌ای، بهترین گزینه برای تصحیح و انتقال مداری ماهواره‌ها هستند. به همین منظور، آن‌ها به طور گسترده‌ای در سفینه‌های فضایی برای ماموریت‌های مختلف استفاده می‌شوند. ماهواره‌ها برای اهداف مختلف از قبیل تزریق ماهواره به مدار ماموریت، جبران نیروی کششی، افزایش و کاهش سرعت ماهواره و کنترل سه محور نیاز به میکرورانشگرها دارند. هیدرازین، به عنوان پرمسترد ترین سوخت میکرورانشگرها شناخته می‌شود. ضربه ویژه (Isp) هیدرازین حدود ۲۰٪ بیشتر از پراکسید هیدروژن است. میکرورانشگرهای تک‌مولفه‌ای هیدرازینی به دلیل قابلیت راهاندازی مجدد نامحدود و قابلیت اطمینان بالا، کاربرد زیادی دارند [1]. انژکتور یکی از عناصر اصلی میکرورانشگر است و عملکرد میکرورانشگر تحت تاثیر آن است. عملکرد اصلی انژکتور، پاشش مناسب سوخت و در نتیجه جذب آن در گرانول‌های کاتالیزور است. پاشش سوخت در میکرورانشگرها باید تمام سطح مقطع بستر را بپوشاند تا کارایی تجزیه افزایش یابد. یکی از مهمترین عوامل به منظور بهبود تجزیه هیدرازین در میکرورانشگرها، توزیع مناسب و یکنواخت اندازه قطرات هیدرازین در محفظه تجزیه است [3].

شانکار<sup>۹</sup> و همکاران [4,5] یک میکرورانشگر هیدرازینی ۱۰ نیوتونی را بررسی کردند. انژکتور استفاده شده توسط آن‌ها از نوع انژکتور کاپیلاری<sup>۱۰</sup> یا جریان مستقیم<sup>۱۱</sup> بود. این نوع انژکتور ساده‌ترین نوع انژکتور است و به دلیل سادگی ساخت، به صورت گسترده مورد استفاده قرار گرفته است. یکی از نقاط ضعف انژکتورهای جریان مستقیم، زاویه پاشش کوچک آن‌ها است که موجب می‌شود انژکتور کل محفظه تجزیه را پوشش ندهد. هینکل<sup>۱۲</sup> و همکاران [6]، یک میکرورانشگر هیدرازینی ۳۵ نیوتونی را مطالعه کردند. آن‌ها برای سیستم پاشش سوخت از یک صفحه انژکتور کاپیلاری هفت سوراخه برای پاشش هیدرازین استفاده کردند. آرایش صفحه انژکتور به این صورت است که یک انژکتور در وسط و بقیه انژکتورها در اطراف قرار دارند. بر اساس مطالعات آن‌ها، پاشش هیدرازین به داخل محفظه تجزیه به خوبی صورت

5 Franken

6 Hamid AHA

7 Pressure swirl injector

8 Nada

1 Shankar

2 Capillary

3 Straight Injection

4 Hinckel

پژوهش حاضر، طراحی و شبیه‌سازی صفحه انژکتور جریان مستقیم مورد بررسی قرار می‌گیرند و نتایج مشخصه‌های مورد نیاز ارائه می‌شود. طراحی این انژکتور برای یک تراسترن تک مولفه‌ای ساخته شده با هدف بومی‌سازی در ایران انجام شده است که قبل از انژکتور آن از نوع جریان پیچشی ساخته شده بود.

## ۲- اصول طراحی انژکتور فشاری- پیچشی

پارامترهای اساسی طراحی انژکتور شامل موارد زیر است که عملکرد بهینه انژکتور توسط آن‌ها تعیین می‌شود. این پارامترها عبارت‌اند از [15]:

۱. دبی خروجی از انژکتور:

$$\dot{m}_{\varphi D} = \mu_{\varphi} F_c \sqrt{2 \Delta p_{\varphi} \rho_*} \quad (1)$$

که در آن  $\dot{m}_{\varphi D}$  دبی واقعی انژکتور،  $\mu_{\varphi}$  ضریب دبی،  $F_c$  سطح مقطع نازل انژکتور،  $\Delta p_{\varphi}$  اختلاف فشار دو طرف انژکتور و  $\rho_*$  چگالی سیال عامل است.

۲. ضریب دبی انژکتور:

$$\mu_{\varphi} = \frac{\dot{m}_{\varphi D}}{\dot{m}_{\varphi I}} \quad (2)$$

که در آن  $\dot{m}_{\varphi I}$  دبی ایده‌آل انژکتور است. مقدار ضریب دبی انژکتور از نسبت دبی عملی خروجی از انژکتور به دبی ایده‌آل خروجی (سطح مقطع پر از سیال) به دست می‌آید که همواره کوچکتر از ۱ است. از طرفی مقدار دبی ایده‌آل خروجی از انژکتور برابر با حاصل ضرب سرعت تئوری خروجی سیال ( $W_T$ ) در چگالی سیال در سطح مقطع نازل انژکتور است.

$$W_T = \sqrt{\frac{2 \Delta p_{\varphi}}{\rho_*}} \quad (3)$$

گزینه مناسب‌تری برای رانشگرهای تک‌پایه است ولی در عین حال، روش ساخت پیچیده‌تری دارد. انژکتورهای فشاری-پیچشی، مزایای انژکتور جریان مستقیم و انژکتور گریز از مرکز را با هم دارند به این صورت که زاویه پاشش مناسب بوده و چتر پاشش نیز توپر است که برای پاشش در محافظه‌های تجزیه میکروموتورها بسیار مناسب است. علاوه‌بر این، دبی جرمی قسمت مرکزی انژکتور با چتر پاشش توانایی برابر با صفر است که موجب می‌شود پاشش هیدرازین در محفظه به صورت یکنواخت صورت نگرفته و قسمت مرکزی محفظه را شامل نشود ولی با این نوع انژکتور قسمت مرکزی بستر نیز خوب پوشش دهی می‌شود [14].

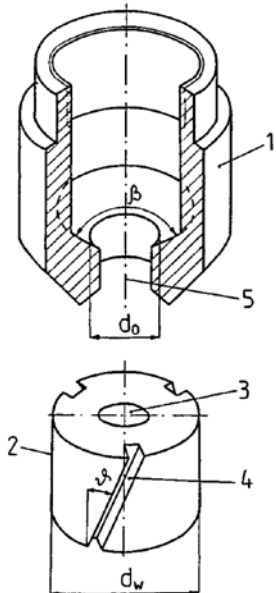
در این مقاله، روند طراحی انژکتور ساخت یک میکرورانشگر تک‌مولفه‌ای کاتالیستی هیدرازینی ۱۰ نیوتنی ارائه شده است. این انژکتور از نوع انژکتور فشاری- پیچشی است. انژکتور فشاری- پیچشی، ترکیبی از انژکتور جریان مستقیم و انژکتور گریز از مرکز است. جریان مستقیم در مرکز انژکتور و جریان پیچشی در کنار دیواره انژکتور جریان دارد. هر دو رژیم جریان در محفظه چرخش با یکدیگر ترکیب شده و چتر پاشش به صورت مخروطی توپر در نازل تخلیه انژکتور تشکیل می‌شود. اگر نسبت دهانه‌های خروجی به درستی انتخاب شود، توزیع شعاعی و محیطی جت مایع یکنواخت می‌شود. انژکتورهای فشار متوسط فشاری- پیچشی با ایجاد اسپری به صورت مخروط توپر برای اسپری سیال‌های مختلف در بسیاری از صنایع کاربرد دارد. افزایش سطح موثر تماس قطرات با گاز محیط موجب افزایش نرخ انتقال حرارت و بهبود اختلاط و تبخیر می‌شود. در این پژوهش، ابتدا مدل‌سازی و سپس تحلیل دینامیک سیالات محاسباتی برای انژکتور انجام شد و مشخصه‌های لایه سیال خروجی از آن استخراج شد. هدف از مدل‌سازی جریان داخلی انژکتور در مقاله حاضر، اطمینان از تامین مشخصه‌های مورد نیاز است. در تکارهای طراحی<sup>۱</sup> مختلف، امکان ساخت و آزمایش کردن انژکتور وجود ندارد و اصولاً پس از نهایی کردن طراحی، انژکتور ساخته می‌شود و در آزمایشگاه آزمایش می‌شود. به همین دلیل، تحلیل عددی می‌تواند در مراحل طراحی بسیار کمک‌کننده باشد و به اصلاح طراحی کمک کند. سپس در ادامه

جدول ۱. تعیین قطر بخش پیچشی  $d_w$  بسته به قطر دهانه نازل  
[3]  $d_0$  خروجی

$d_0$ [mm]	< ۲	۱۵-۲	> ۱۵
$d_w$ [mm]	۱۵	۳۰	$d_0$ ۲

جدول ۲. زاویه شیب شیار بر حسب زاویه پاشش [3]

$\alpha$ [deg]	۳۰	۵۰-۳۰	۷۵-۵۰	> ۷۵
$v$ [deg]	۱۰	۱۵	۲۵	۳۰



شکل ۱. انژکتور فشاری-پیچشی. ۱- بدنه، ۲- بخش پیچشی جریان، ۳- دهانه ورودی محوری، ۴- شیارها، ۵- دهانه نازل [3]

همان طور که بیان شد، چتر پاشش ایجاد شده توسط انژکتور فشاری-پیچشی به صورت توپر است. بر همین مبنای، این انژکتور گزینه مناسبی برای سیستم پاشش سوخت در میکرورانشگرهای تکمولفهای است زیرا چتر پاشش توپر تمام محفظه تجزیه را درگرفته و موجب افزایش تجزیه هیدرزاژین می‌شود. بر همین اساس، انژکتور فشاری-پیچشی از نوع بخش پیچشی جریان استوانه‌ای برای سامانه پاشش میکرورانشگر تکمولفهای ۱۰ نیوتونی انتخاب شد. تعداد شیارهای بخش پیچشی جریان انژکتور

۳. اختلاف فشار بین دو سر انژکتور ( $\Delta P_\phi$ ) یکی از پارامترهای مهم طراحی است که مقدار آن برای انواع انژکتور متفاوت است.

$$\Delta p_\phi = p_{BX} - p_B \quad (4)$$

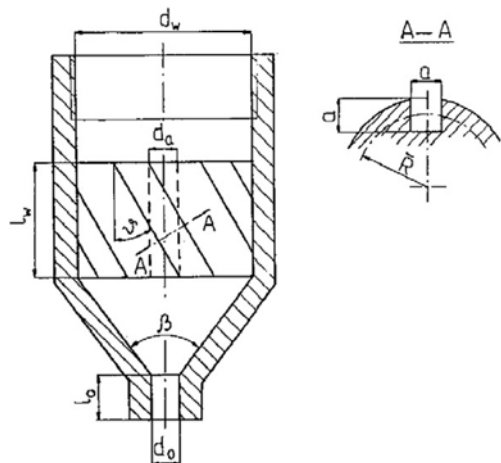
در رابطه (۴)،  $p_{BX}$  فشار سیال در راهه ورودی و  $p_B$  فشار در سمت خروجی است. این مقدار تعیین کننده دبی خروجی از انژکتور است. به همین ترتیب، مشخصات انژکتور (سرعت خروجی سیال، دی جرمی جریان، ضریب دبی و زاویه چتر پاشش) تابعی از اختلاف فشار بین دو طرف انژکتور است.

۴. زاویه چتر پاشش (α)، تابعی از اختلاف فشار است و برای انژکتورهای جریان مستقیم صنعتی بین ۳۰ تا ۸۰ درجه است. انژکتور فشاری-پیچشی از دو قسمت از جمله بدنه و بخش پیچشی جریان تشکیل شده است. شکل (۱) [3] نمایی از این انژکتور را نشان می‌دهد. بخش پیچشی جریان معمولاً به شکل استوانه‌ای است. این استوانه دارای یک کانال محوری برای جریان بدون چرخش و شیارهای تولید کننده جریان پیچشی است. قطر بخش پیچشی  $d_w$  بسته به قطر دهانه نازل خروجی  $d_0$  از جدول (۱) تعیین می‌شود. محفظه چرخش (محفظه اختلالات دو رژیم جریان) بین بخش پیچشی و نازل خروجی قرار دارد. زاویه محرومی محفظه چرخش (β) در بیشتر موارد ۶۰ تا ۱۲۰ درجه است. سطح مقطع شیارهای بخش پیچشی، به صورت مستطیلی یا مربعی است. این شیارها با زاویه ۷ نسبت به جهت محور قرار گرفته‌اند. ماشین کاری شیارها و بدنه نسبتاً ساده است. معمولاً بیشینه تعداد شیارها سه عدد است. بر اساس جدول (۲)، زاویه شیب شیارها بر زاویه پاشش α تأثیرگذار است. همچنین، بیشینه زاویه شیب شیارها برابر با ۳۰ درجه است. معمولاً انژکتورها با بخش پیچشی سیال استوانه‌ای برای تأمین دی جریان پایین کاربرد دارند. آن‌ها زاویه پاشش نسبتاً کمی دارند و بیشینه مقدار آن برابر با ۸۰ درجه است. از مزایای این انژکتورها، سادگی در طراحی و امکان جایگزینی بخش پیچشی است. بر همین دلیل، آن‌ها بیش از سایر انژکتورهای فشاری-پیچشی کاربرد دارند. عیب آن‌ها احتمال گرفتگی شیارها است [3].

### ۳- شبیه‌سازی انژکتور فشاری- پیچشی

سطح مشترک بین یک مایع و یک گاز به اصطلاح سطح آزاد<sup>۱</sup> نامیده می‌شود. در پدیده پاشش یک سوخت مایع و پودرشدن آن،

جدول ۴. مشخصات هندسی انژکتور طراحی شده



واحد	مقدار	پارامتر
[mm]	.۲۸	a
[mm]	۱	Lw
[mm]	.۴	da
[deg]	۱۲۰	β
[mm]	۱	l0
[mm]	۴	dw
[deg]	۱۵	v
[mm]	.۷	d0

مرز بین لایه مایع و هوا یک سطح آزاد است. بنابراین، باید از روش‌های عددی مخصوص بررسی سطح آزاد بین مایع و گاز استفاده کرد. خصوصیات دوفاز که در اینجا سوخت مایع و هوا است به نرمافزار داده می‌شود. برای حل جریان و یافتن سطح آزاد بین دوفاز، از روش حجم سیال (VOF)<sup>۲</sup> استفاده شد و به منظور مدل کردن آشفتگی از مدل K-E استفاده شد. در روش حجم سیال، اگر نسبت حجمی هر سیال ( $q^h$ ) را  $f_q$  بنامیم، سه حالت مختلف می‌تواند وجود داشته باشد [۵]: برای سلول خالی از سیال  $q^h$ ، سلول پر از سیال  $q^h$  و سلول شامل سطح آزاد

برابر با سه عدد انتخاب شد تا از حیث تقارن مخروط پاشش نیز مشکلی پیش نیاید. انژکتور فشاری- پیچشی مورد نظر بر اساس معلومات جدول (۳) طراحی می‌شود. در خصوص تعیین مقدار دبی جرمی باید گفت، با توجه به اینکه ضربه ویژه (ایمپالس) هیدرازین و همچنین نیروی پیشان، مشخص هستند، می‌توان مقدار دبی جرمی تزریق سوخت را محاسبه نمود. مقدار دبی جرمی از رابطه (۵) بدست می‌آید [۱۵] :

$$\dot{m} = \frac{F^{(kg)}}{I_S^{(s)}} \quad (5)$$

دبی جرمی مورد نیاز میکرونانشگر برابر با ۵ گرم بر ثانیه است. با استفاده از رابطه فوق، مقدار دبی جرمی انژکتور با لحاظ ۱۵٪ حاشیه اطمینان طراحی و ساخت، معادل ۰.۰۵۷ کیلوگرم بر ثانیه محاسبه شد.

جدول ۳. معلومات طراحی انژکتور

دبی جرمی (kg/s)	چگالی سوخت (kg/m³)	ویسکوزیته سینماتیکی مایع (m²/sec)	ویسکوزیته دینامیکی مایع (kg.m.s)
۰.۰۰۵۷	۱۰۲۱	.....۰۱	.....۹

با انجام این مراحل، انژکتور جریان پیچشی یک پایه مورد نظر بر اساس معلومات جدول (۳) طراحی شد و تغییرات فاکتورهای مهم طراحی برای بهینه‌سازی در محدوده مجاز توسط طراح انجام شد. مجہولات کلیدی در طراحی این انژکتور، که به کمک روش فوق محاسبه شده‌اند، در جدول (۴) نشان داده شده است. این انتخاب با درنظر گرفتن مناسب‌ترین اختلاف فشار دو سر انژکتور معادل ۳ بار، در نظر گرفتن ملاحظات هندسی و ساخت انژکتور، مقدار دبی جرمی که باید توسط این انژکتور تزریق شود و همچنین سرعت متوسط مناسب پاشش سیال از خروجی انژکتور بر روی بستر کاتالیستی صورت گرفته است. در قسمت پیچشی جریان انژکتور، سه شیار و یک ورودی محوری انتخاب شد.

مقادیر اسکالار (نظیر  $f_{K,E}$ ) به دست می‌آیند. خصوصیات محلی سیال به صورت زیر است [10]:

$$\begin{aligned}\rho(F) &= \rho_l F + \rho_g (1-F) \\ \mu(F) &= \mu_l F + \mu_g (1-F)\end{aligned}\quad (8)$$

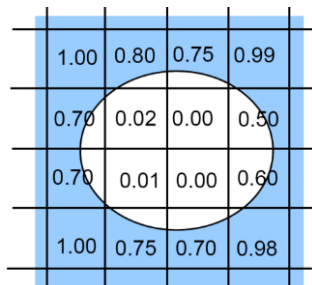
نیروی سطحی پیوسته به صورت زیر است:

$$F_S = \sigma \frac{\rho \kappa n}{1/2(\rho G + \rho L)} \quad (9)$$

که  $K$  انحنای محلی و  $n$  بردار نرمال واحد است.

$$\kappa = \nabla \cdot \hat{n}, \quad \hat{n} = n / |n|, \quad n = \nabla F \quad (10)$$

حرکت فصل مشترک متحرک توسط حل معادله جابه‌جایی  $F$  به صورت زیر است [11]:



- پر، نیمه‌پر و خالی شکل (۲): وضعیت سلول‌ها در تحلیل

$$\frac{\partial F}{\partial t} + v \cdot \nabla F = 0 \quad (11)$$

حال به بررسی مدل آشفتگی می‌پردازیم. در اینجا به طور خاص مدل  $k-\epsilon$  RNG بیان می‌شود. در این روش، آشفتگی جریان بر اساس یک تکنیک آماری دقیق به کمک روابط ریاضی به دست می‌آید. معادلات حاکم در این مدل به صورت روابط زیر است:

برای سیال  $q^h$ ، به ترتیب  $f_q = 0$  و  $\langle f_q \rangle = 1$  صادق است. بر اساس این مقدار از  $f_q$ ، خواص و پارامترهای مختلف در هر سلول از حوزه حل مشخص می‌شوند. این مدل در واقع یک روش ردیابی سطح<sup>۱</sup> است که به شبکه‌بندی ثابت (اویلری) اعمال می‌شود. این روش برای دو یا چند سیال (فاز) مخلوط نشدنی، که فصل مشترک آن‌ها جدگانه است، اعمال می‌شود. دنبال کردن سطح آزاد بین فازهای مختلف با حل یک معادله پیوستگی برای فازهای مختلف صورت می‌گیرد که در انتهای برای هر سلول باید شرط زیر برقرار باشد [9]:

$$\sum_{q=1}^n f_q = 1 \quad (6)$$

معادلات حاکم روش حجم سیال به این صورت است که یک مجموعه از معادلات مومنتوم توسط سیال‌های تشکیل‌دهنده جریان دوفازی به شراکت گذاشته می‌شوند و سهم حجمی هر کدام از سیالات در هر یک از سلول‌های محاسباتی رددگیری می‌شوند. در روش VOF، برای کل حوزه حل یک معادله مومنتوم حل می‌شود و سپس با استفاده از حوزه سرعت به دست آمده، مقادیر سرعت در هر فاز مشخص می‌شود [11]:

$$\begin{aligned}\nabla \cdot v &= 0 \\ \rho(F) \left( \frac{\partial v}{\partial t} + v \cdot \nabla v \right) &= \\ -\nabla P + \rho(F) g + \nabla \cdot \left[ \mu(F) \left( \nabla v + (\nabla v)^T \right) \right] &+ F_S\end{aligned}\quad (7)$$

همان‌طور که مشخص است، این معادله مومنتوم شامل متغیرهای نسبت حجمی سیالات نمی‌شود و تنها از طریق چگالی و لزجت از این مقادیر تأثیر می‌پذیرد. در واقع، در حل معادلات حاکم، به منظور تعیین مشخصات سیال در سلول‌های نیمه‌پر نظری سلول‌های شکل (۲) بر اساس مقدار  $F$  به دست آمده در آن سلول مشخصات محاسبه شده و در معادلات جایگزین می‌شود. پس از به دست آمدن مقادیر سرعت با استفاده از معادله مومنتوم، بر اساس تعریف مسئله صورت گرفته سایر

معادله K:

در بین خانواده روش‌های سیمپل<sup>۵</sup> عملکرد بهتری دارد. برای میان‌بابی فشار، روش پرستو<sup>۶</sup> به کار گرفته شد، چون استفاده از این روش به پایداری جریان و روند همگرایی آن کمک می‌کند. معادلات مومنتوم، کسر حجمی سیال و معادلات آشفتگی برای دقت بالاتر همگی با روش کوئیک گسته‌سازی شدند. معادلات ناویر استوکس به صورت تراکم ناپذیر، پایا و سه‌بعدی حل شده و از معادله انرژی صرف‌نظر شده است. نرم‌افزار فلوئنت برای حل معادلات انتگرالی بقای جرم، ممنتوم و کمیت‌های دیگری نظیر توربولنس از روش حجم کنترل استفاده می‌کند، که به وسیله شبکه‌های محاسباتی که در نرم‌افزارهای تولید شبکه‌بندی ایجاد می‌شوند، محیط به حجم کنترل‌هایی گسته می‌شود. از معادلات اساسی در حجم‌های کنترل مجزا برای تولید معادلات جبری متغیرهای وابسته گسته شده مثل سرعت و فشار، انتگرال‌گیری می‌شود. سپس معادلات گسته شده را خطی کرده برای به دست آوردن مقادیر متغیرها، حل دسته معادلات خطی شده انجام می‌گیرد.

استقلال از شبکه برای این هندسه بررسی شد و در نهایت نتیجه گرفته شد که تعداد ۴۲۰ هزار سلول محاسباتی در حوزه حل کافی است. در واقع، با ریز کردن مش به بیش از این تعداد، تغییری در پاسخ حاصل نشد، از این‌رو، تعداد ۴۲۰ هزار مش در دامنه حل نهایی شد. این بررسی برای پارامترهای مهم مورد بررسی (سرعت متوسط پاشش و دبی جرمی خروجی در دهانه انژکتور) در جدول (۵) نشان داده شده است. صحه‌گذاری این روش حل عددی قبلاً در مراجع [۸] و [۹] توسط نویسنده انجام شده است.

$$\rho \frac{Dk}{Dt} = \frac{\partial}{\partial x_i} \left[ \alpha_k \mu_{eff} \frac{\partial k}{\partial x_i} \right] + G_k - \rho \varepsilon \quad (12)$$

معادله ε:

$$\begin{aligned} \rho \frac{D\varepsilon}{Dt} &= \frac{\partial}{\partial x_i} \left[ \alpha_\varepsilon \mu_{eff} \frac{\partial \varepsilon}{\partial x_i} \right] \\ &+ C_{1\varepsilon} \frac{\varepsilon}{k} (G_k + G_{3\varepsilon}) - C_{2\varepsilon} \rho \frac{\varepsilon^2}{k} - R \end{aligned} \quad (13)$$

که  $\mu_{eff}$  لزجت مؤثر گردابهای است. مقادیر اعداد پرانتل آشفتگی  $\alpha_\varepsilon, \alpha_k$ ، از فرمول‌های تحلیلی به دست می‌آیند. ترم R اضافه شده به معادله ε در مدل RNG نسبت به مدل حالت استاندارد، با اصلاح محاسبه لزجت گردابهای باعث اصلاح این معادله در نواحی‌ای که نرخ کرنش زیاد (جریان‌های با سرعت بالا) است، می‌شود.

شکل (۳) هندسه شبکه‌بندی شده انژکتور را نشان می‌دهد. فضایی به صورت یک نیم‌کره به عنوان فضای تخلیه نازل در نظر گرفته شده است تا اثر پایین‌دست نیز در مدل لحاظ شده باشد. مرزهای نیم‌کره‌ای که به عنوان فضای بیرون در نظر گرفته شده است، طوری انتخاب شده است که آثار مرزها بر میدان حل ناچیز باشد. مدل‌سازی سه‌بعدی هندسه نازل و شبکه‌بندی آن در نرم‌افزار ورکبنچ<sup>۱</sup> انجام گرفته است. معادلات حاکم (ناویر-استوکس) توسط نرم‌افزار انسیس فلوئنت<sup>۲</sup> حل شدند. شرایط مرزی بدین صورت است که در مرز خروجی (محیط اطراف) اختلاف فشار صفر منظور شده است. در ورودی، شرط مرزی فشار لحاظ شده است. در دیوارهای، شرط مرزی دیواره با شرط عدم لغزش به کار رفته است. تحلیل به صورت هم‌دما انجام شده و از معادله انرژی صرف‌نظر شده است. جریان به صورت سه‌بعدی، پایا، آشفته و تراکم‌ناپذیر در نظر گرفته شد. برای حل از حل گرفشار-مبا<sup>۳</sup> استفاده شد و معادلات مومنتوم و پیوستگی به طور پی‌درپی حل شدند. برای وابسته کردن میدان سرعت و فشار، الگوریتم سیمپل سی<sup>۴</sup> انتخاب شد. این الگوریتم

4 SimpleC

5 Simple

6 Presto

1 Work bench

2 Ansys Fluent

3 Pressure-based

یعنی مقادیر بالاتر از ۰.۵ تا ۱ به سلول‌های پر از سوخت مایع تعلق دارد و مقادیر ۰ تا ۰.۵ به سلول‌های پر از گاز تعلق دارد. شکل (۵)، نمودار کسر حجمی سوخت در خط قطری دهانه نازل تخلیه انژکتور را نشان می‌دهد. همان‌طور که در شکل مشخص است کسر حجمی سوخت تمام سلول‌های مقطع خروجی نازل (به غیر از نزدیک دیواره) برابر با یک است و در نتیجه چتر پاشش انژکتور کاملاً توپر است.

#### ۴- نتایج تحلیل انژکتور فشاری-پیچشی

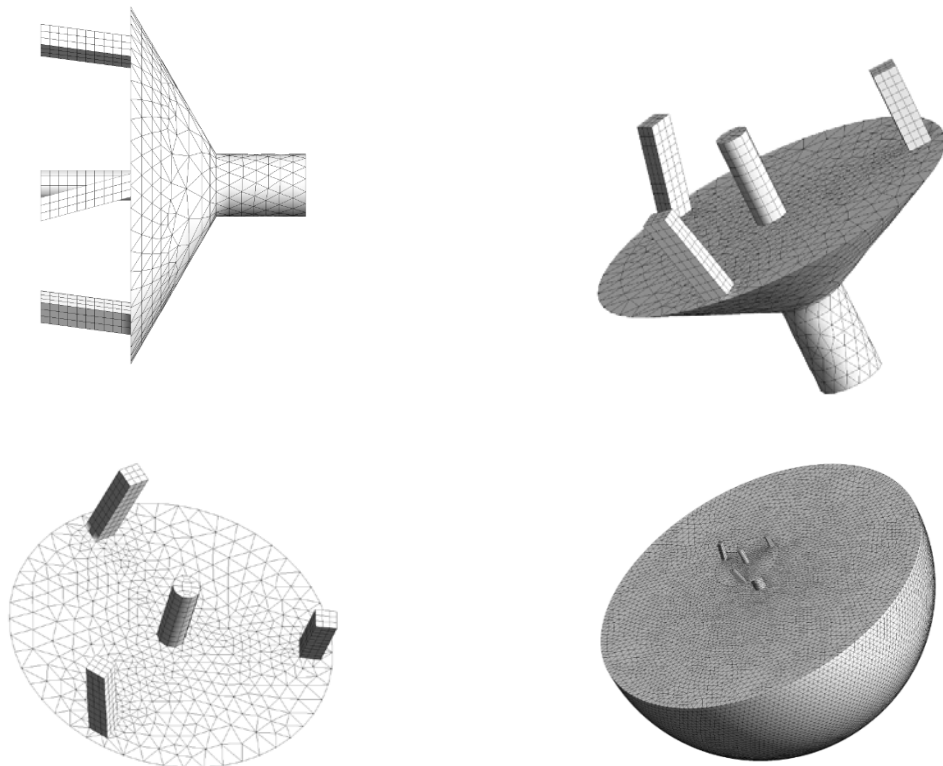
به منظور در نظر گرفتن تاثیر پارامترهای هندسی بر مشخصه‌های جریان خروجی از انژکتور نظری ضخامت لایه سیال

جدول ۵. بررسی استقلال شبکه محاسباتی (مش) از حل عددی در خط شعاعی دهانه نازل تخلیه انژکتور

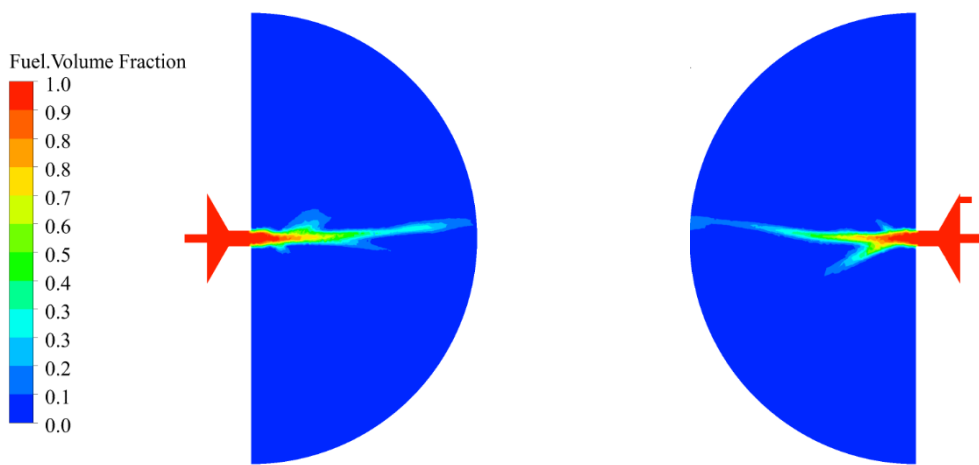
ردیف	تعداد المان	سرعت متوسط [m/sec]	دبی جرمی [kg/sec]
۱	۱۱۵۳۶۵	۱۴.۱۲	۰.۰۰۵۷۶
۲	۴۲۰۲۸۸	۱۶.۲	۰.۰۰۵۷۰
۳	۷۲۵۸۷۴	۱۶.۲	۰.۰۰۵۷۰
۴	۹۵۱۳۵۰	۱۶.۲	۰.۰۰۵۷۰

خارج شده، دبی جرمی در اختلاف فشار معین دو سر انژکتور و سرعت متوسط سیال خروجی، تحلیل جریان داخلی انژکتور به کمک نرمافزار فلوئنت انجام گرفت. سیال بعد از عبور از ورودی‌ها و قسمت همگرای انژکتور، از نازل انژکتور خارج می‌شود. در این قسمت، پارامتر فشار و پارامترهای هندسی و تاثیر آن‌ها بر روی سرعت خروجی و دبی جرمی انژکتور مورد بررسی قرار می‌گیرد. مشخصات طراحی نهایی انژکتور قبل از جدول (۴) نشان داده شده است. این انتخاب با درنظر گرفتن مناسب‌ترین اختلاف فشار دو سر انژکتور معادل ۳ بار، در نظر گرفتن ملاحظات هندسی و ساخت انژکتور، مقدار دبی جرمی که باید توسط این انژکتور تزریق شود و همچنین سرعت متوسط مناسب پاشش سیال از خروجی انژکتور بر روی بستر کاتالیستی صورت گرفته است.

شکل (۴)، کانتور کسر حجمی سوخت را نشان می‌دهد. کسر حجمی، یک پارامتر مهم در ارزیابی جریانات دوفازی محسوب می‌شود، زیرا نماینگر این است که سطح مشترک دو فاز مختلف (مایع و گاز) در کجا شکل گرفته است. این پارامتر یک مقدار بدون بعد است که میزان آن از صفر تا یک متغیر است. رنگ قرمز به منزله سلول پر از سوخت و رنگ آبی به منزله سلول خالی از سوخت است. با استفاده از این کانتور، زاویه مخروط پاشش نیز حدود ۳۵ درجه به دست می‌آید. زاویه اسپری، همان زاویه مخروط خروجی از انژکتور تعریف می‌شود. در نرمافزار، قرارداد می‌شود که سطح تماس بین دو سیال، جایی در نظر گرفته شود که مقدار کسر حجمی سیال در آن برابر ۰.۵ باشد.

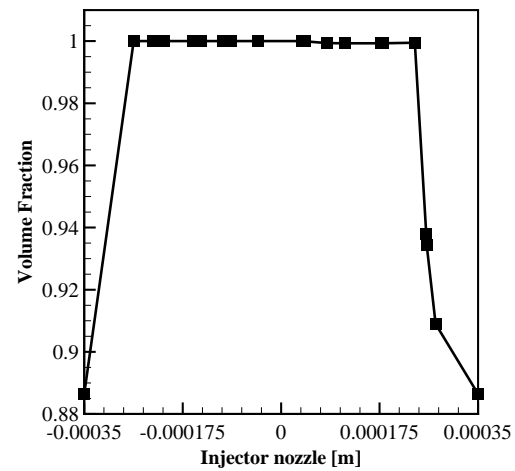


شکل ۳. هندسه شبکه‌بندی شده ازکتور



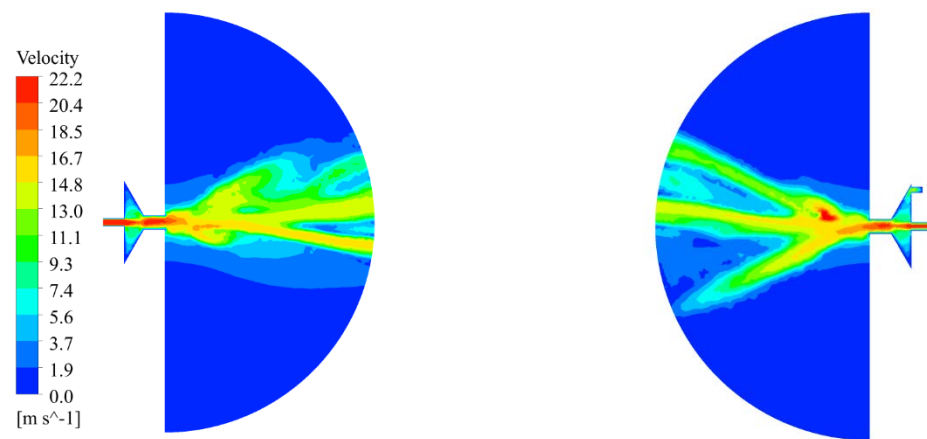
شکل ۴. کانتورهای کسر حجمی سوخت در دو مقطع طولی

همچنین، توزیع سرعت محوری، شعاعی و محیطی در خط قطری دهانه خروجی انژکتور در شکل (۹) ارائه شده‌اند. بر همین اساس در مرکز انژکتور جریان به صورت مستقیم و در نزدیک دیواره به صورت پیچشی از نازل خارج می‌شود. در ادامه، کانتورهای فشار در دو مقطع طولی در شکل (۱۰) نشان داده شده است که به خوبی افت فشار در انژکتور از پشت انژکتور که فشار تزریق ۳ بار نسبی را دارد تا محیط تخلیه که فشار ۱ بار نسبی را دارد، قابل مشاهده است. این کانتور در دو برش ارائه شده است که صفحات برش با هم ۹۰ درجه اختلاف فاز دارند و به هم عمود هستند. مدل انژکتور طراحی شده بر مبنای روش‌های طراحی و تحلیل در بخش‌های قبلی، در نرم‌افزار سالیدورک<sup>۱</sup> تهییه شده است. در شکل (۱۱)، شماتیک انژکتور طراحی شده ارائه شده است. همچنین شماتیک بخش پیچشی جریان در شکل (۱۲) نشان داده شده است. این انژکتور از این‌رو به صورت مازولار طراحی شده است که قابلیت جانمایی روی تراسترهای کم‌پیشران و همین‌طور قابلیت نصب روی صفحه انژکتور ستاپ آزمایشگاهی را داشته باشد.

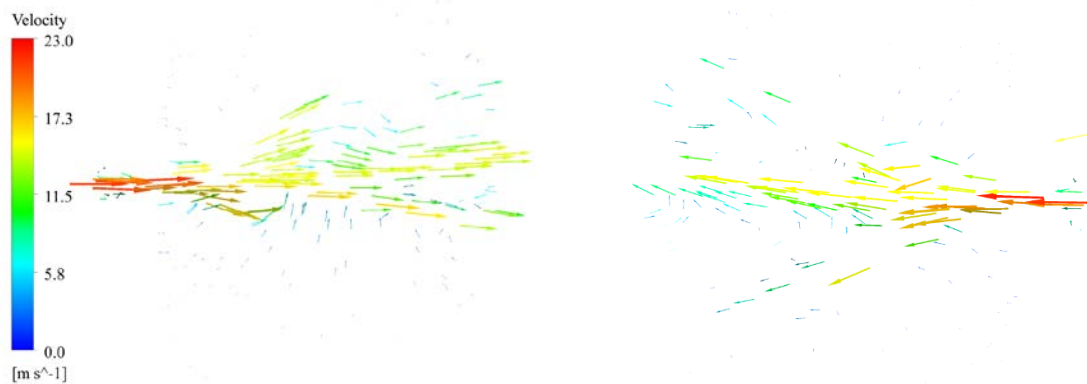


شکل ۵. نمودار کسر حجمی سوخت در خط قطری دهانه تخلیه انژکتور

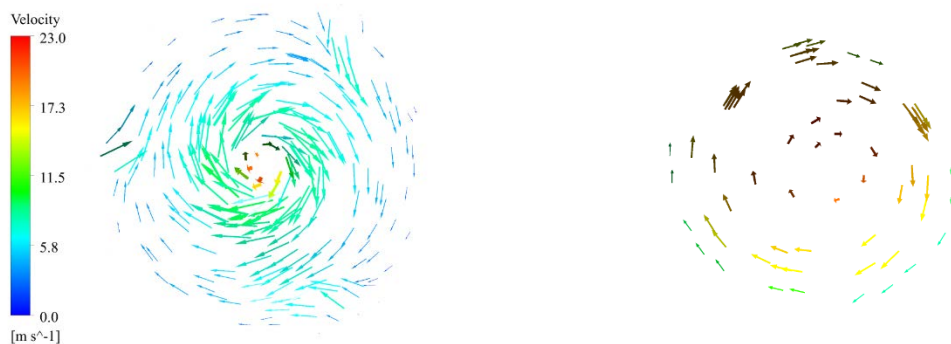
در شکل (۶)، کانتور اندازه سرعت نشان داده شده است. میانگین اندازه سرعت سیال در خروجی نازل معادل ۱۶.۲ متر بر ثانیه و دبی جرمی سوخت برابر ۰۰۰۵۷ کیلوگرم بر ثانیه به دست آمد. بردارهای سرعت در شکل (۷) و شکل (۸) نشان داده شده است. به ترتیب بردارهای سرعت در مقطع طولی نازل و محیط تخلیه، همچنین در مقطع عرضی دهانه خروجی و مجراهای ورودی نشان داده شده‌اند که در ابتدای ورود جریان و طریقه شکل گرفتن جریان پیچشی در ابتدای ورود جریان از طریق مجراهای به محفظه چرخش و همچنین مقدار سرعت در هر ناحیه را نشان می‌دهند. در واقع، این بردارها به منظور فهم فیزیک و الگوی جریان درون انژکتور و محیط تخلیه ارائه شده‌اند. نکته قابل توجه این است که، سرعت محوری و محیطی تقریباً از یک مرتبه اندازه هستند. همچنین رفتار سرعت و افت و خیزهای آن از این نمودارها کاملاً قابل ارزیابی است. میانگین اندازه سرعت سیال در خروجی نازل معادل ۱۶ متر بر ثانیه به دست آمد. دبی جرمی سوخت ورودی نیز از این تحلیل با مقدار طراحی کاملاً همخوانی دارد. با بررسی نتایج، این اطمینان حاصل شد که انژکتور طراحی شده، دبی جرمی مورد نظر را در اختلاف فشار معین طراحی می‌تواند تأمین کند. همچنین زاویه پاشش مورد نظر نیز توسط آن تأمین می‌شود.



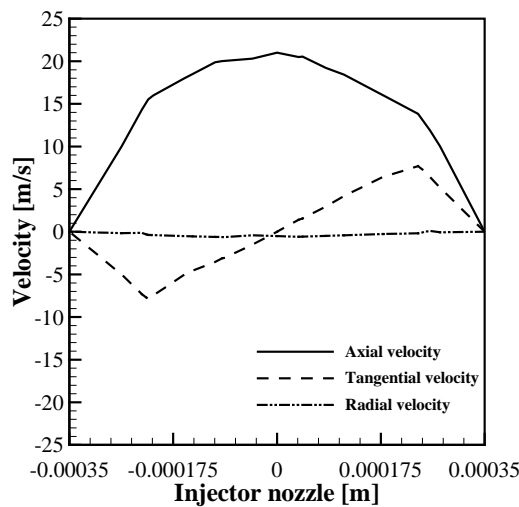
شکل ۶. کانتورهای اندازه سرعت در دو مقطع طولی



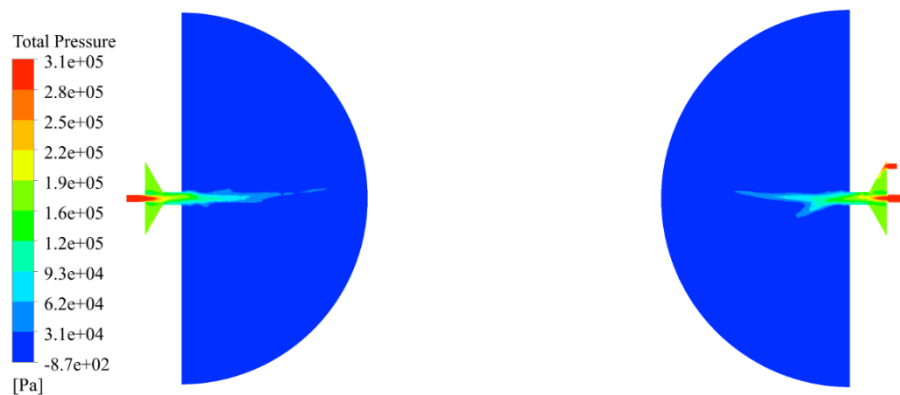
شکل ۷. بردارهای سرعت در دو مقطع طولی



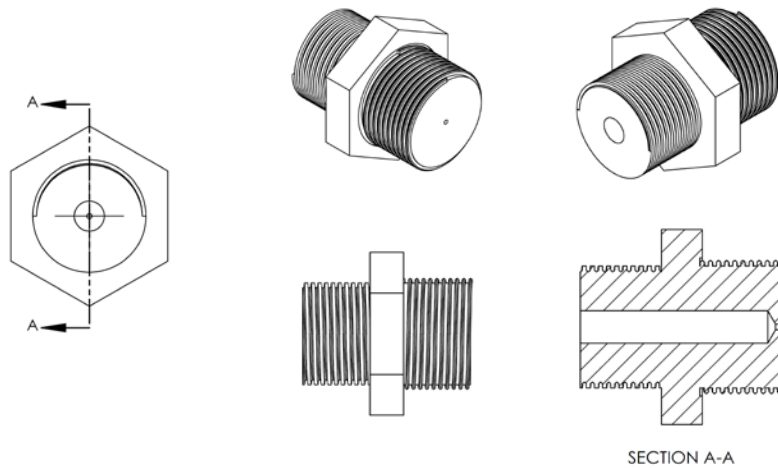
شکل ۸. بردارهای سرعت در راهه ورودی (سمت چپ) و نازل خروجی انژکتور (سمت راست)



شکل ۹. توزیع سرعت محوری، شعاعی و محیطی در دهانه خروجی انژکتور



شکل ۱۰. کانتورهای فشار در دو مقطع طولی



شکل ۱۱. شماتیک انژکتور طراحی شده

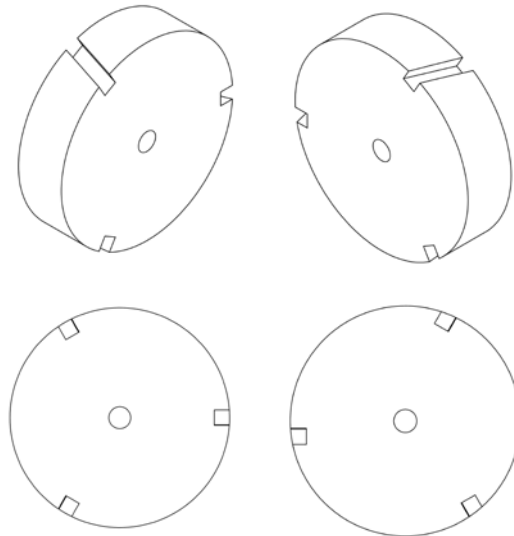
صنعتی مختلف با هدف کاهش هزینه‌ها به کار رود. این نوع انژکتور به دلیل پیچیدگی هندسه داخلی آن و همچنین به دلیل ابعاد بسیار کوچک در کاربری‌های کم‌پیشران با مشکلاتی در فرایند ساخت و تولید بالاخص در داخل کشور مواجه می‌است. در صورتی که بتوان موانع ساخت را رفع نمود، این انژکتور برای سامانه‌های کم‌پیشران نسبت به نوع کاپیلاری (جریان مستقیم) و نوع جریان پیچشی ارجحیت دارد، زیرا مخروط اسپری حاصله از آن نه مانند نوع جریان پیچشی آنقدر بزرگ و توخالیست که پوشش‌دهی بستر کاتالیستی را با مشکل مواجه کند و نه مانند نوع کاپیلاری (جریان مستقیم) آنقدر کم‌سرعت و کوچک‌زاویه است که پوشش‌دهی کامل بستر کاتالیستی را با مشکل مواجه کند. با انژکتور جریان مستقیم به دلیل چتر کوچک و توپر انژکتور، طراح محفظه کاتالیستی قادر است تا ابعاد شعاعی انژکتور را به اندازه چشم‌گیری کاهش دهد. از طرفی طرح انژکتور فشاری-پیچشی یک طرحی است که شرایطی که ایجاد می‌کند به نوعی میانگین شرایط انژکتور جریان مستقیم و انژکتور جریان پیچشی است. یعنی، مزایای هر دو طرح را در خود دارد. در واقع، هم چتر پاشش بزرگتری نسبت به نوع جریان مستقیم دارد که پوشش‌دهی کاتالیست را بهتر می‌کند، در عین حال چتر پاششی که ایجاد می‌کند به بزرگی حالت انژکتور جریان پیچشی نیست که ابعاد شعاعی محفظه را بزرگ کند. از طرفی، مثل انژکتور جریان پیچشی، چتر پاشش توخالی ندارد که پوشش‌دهی بخش مرکزی بستر کاتالیستی را با مشکل مواجه کند. سرعت جریان خروجی نیز بین دو حالت فوق است. بنابر توضیحات فوق، در صورتی که موانع بر سر راه ساخت انژکتورهای فشاری-پیچشی برای کاربری‌های کم‌پیشران نظیر ۱۰ نیوتونی (با توجه به ابعاد بسیار ریز آن و هندسه داخلی پیچیده آن) رفع شود، یک انتخاب خوب برای جانمایی در تراسترن ۱۰ نیوتونی تک‌مولفه‌ای کاتالیستی خواهد بود.

#### تعارض منافع

هیچ‌گونه تعارض منافع توسط نویسنده‌گان بیان نشده است.

#### تشکر و قدردانی

اد



شکل ۱۲. شماتیک بخش پیچشی جریان انژکتور طراحی شده

#### ۶- نتیجه‌گیری

در این مقاله، رویه طراحی، شبیه‌سازی و تحلیل یک انژکتور فشاری-پیچشی تک‌پایه با سه ورودی زاویه‌دار و یک ورودی محوری به منظور استفاده در یک رانشگر تک‌مولفه‌ای کاتالیستی کم‌پیشران ۱۰ نیوتونی ارائه شده است. پارامترهای هندسی انژکتور در مرحله طراحی با درنظر گرفتن خصوصیات فیزیکی سوخت مورد نظر (در اینجا هیدرازین) محاسبه شده‌اند. با بررسی نتایج، این اطمینان حاصل شد که انژکتور طراحی شده، دبی جرمی مورد نظر (حدود  $5/8$  گرم بر ثانیه) را در اختلاف فشار معین طراحی (۳ بار نسبی) می‌تواند تامین کند و الگوی پاشش مناسبی را رقم بزند. همچنین زاویه پاشش مورد نظر (حدود ۳۵ درجه) نیز توسط آن تامین می‌شود. در واقع، این انژکتور به‌گونه‌ای طراحی شد تا مشخصه‌های مناسب برای استفاده در این کاربری خاص را تامین کند. با توجه به اینکه مطالعه مشخصات جریان داخلی انژکتور، به‌دلیل اندازه کوچک انژکتور، به‌صورت تجربی سخت است، این روش عددی می‌تواند جایگزین مناسبی برای روش‌های تجربی باشد که اولاً هزینه بسیاری را در بر دارد و ثانیاً دستگاه‌های لندازه گیری دقیق نیز همیشه در دسترس نیستند. از این‌رو می‌تواند به عنوان ابزاری مفید در صرفه اقتصادی نیستند. از این‌رو می‌تواند به عنوان ابزاری مفید در روند تحلیل، طراحی و بهینه‌سازی انژکتورها در کاربردهای

- [9] S.M. Hosseinalipour, H. Karimaei, E. Movahednejad, F. Ommi, "Application of maximum entropy principle for estimation of droplet-size distribution using internal flow analysis of a swirl injector", *Int J Spray Combust Dyn*, Vol. 8, No.3, pp. 205–16, 2016.
- [10] H. Karimaei, "Design of Physical Configuration of a 10N Monopropellant Hydrazine Thruster", *Journal of Space Science and Technology (JSST)*, Vol. 11, No.1, pp. 9–19, 2019. (in persian)
- [11] H. Karimaei, M. Salimi, H. Naseh, E. Jokari, "Design and Simulation of Fuel Injector of a 10N Monopropellant Hydrazine Thruster", *Journal of Space Science and Technology (JSST)*, Vol. 12, No.3, pp. 13–22, 2019. (in persian)
- [12] A.H.A. Hamid, "Atan R. Spray characteristics of jet-swirl nozzles for thrust chamber injector", *Aerospace Sci Technol.*, Vol. 13, No.4, pp. 192–6, 2009.
- [13] T.R. Nada, AA. Hashem, "Geometrical characterization and performance optimization of monopropellant thruster injector", *Egypt J Remote Sens Sp. Sci.*, Vol. 15, No.2, pp. 161–9, 2012.
- [14] H. Karimaei, R. Ghorbani, SM. Hosseinalipour, "Implementation of linear stability theory on hollow cone-shaped liquid sheet", *Period Polytech Mech Eng*, Vol. 64, No.3, pp. 179–88, 2020.
- [15] F. Ommi, *Space Propulsion and Rocket*, 2<sup>nd</sup> edition, Tarbiat Modarels Publication, 2017, pp. 90-100 (in persian)

## مراجع

- [1] C.D. Brown, *Spacecraft propulsion*, Washington DC, American Institute of Aeronautics and Astronautics, 1996, pp. 120-130.
- [2] C.Y. Han, J.M. Choi, "Thermal analysis of spacecraft propulsion system and its validation", *KSME Int J.*, Vol. 18, No.5, pp. 847–56, 2004.
- [3] L. Bayvel, Z. Orzechowski, *liquid atomization*, Washington DC, Taylor & Francis, 1993, pp. 115–125.
- [4] V. Shankar, K.A. Ram, K.A. Bhaskaran, "Prediction of the concentration of hydrazine decomposition products along a granular catalytic bed", *Acta Astronaut*, Vol. 11, No.6, pp. 287–99, 1984.
- [5] V. Shankar, K. Anantha Ram, KA. Bhaskaran, "Experimental investigations of the 10 N catalytic hydrazine thruster", *Acta Astronaut*, Vol. 12, No.4, pp. 237–49, 1985.
- [6] J.N. Hinckel, J.A.R. Jorge, T.G.S. Neto, M.A. Zacharias, JAL. Palandi, Low cost catalysts for hydrazine monopropellant thrusters, *45th AIAA/ASME/SAE/ASEE Jt Propuls Conf Exhib*, 2009.
- [7] T. Franken, F. Valencia-Bel, B.V.S. Jyoti, B. Zandbergen, Design of a 1-N monopropellant thruster for testing of new hydrogen peroxide decomposition technologies, *Aerospace Eur Conf 2020*, Fr 25-28 Febr 2020.
- [8] S.M. Hosseinalipour, H. Karimaei, "A new model based on coupling of MEP/CFD/ILIA for prediction of primary atomization", *Can J Chem Eng*, Vol. 97, No.4, pp. 792–802, 2016.



## COPYRIGHTS

© 2022 by the authors. Licensee Iranian Space Research Center of Iran. This article is an open access article distributed under the terms and conditions of the Creative Commons Attribution 4.0 International (CC BY 4.0) (<https://creativecommons.org/licenses/by/4.0/>)